

研究简报

分子束外延选择性掺杂的 GaAs/ N-AlGaAs 异质结

陈宗圭 梁基本 孙殿照 黄运衡 孔梅影
(中国科学院半导体研究所)
1984年3月29日收到

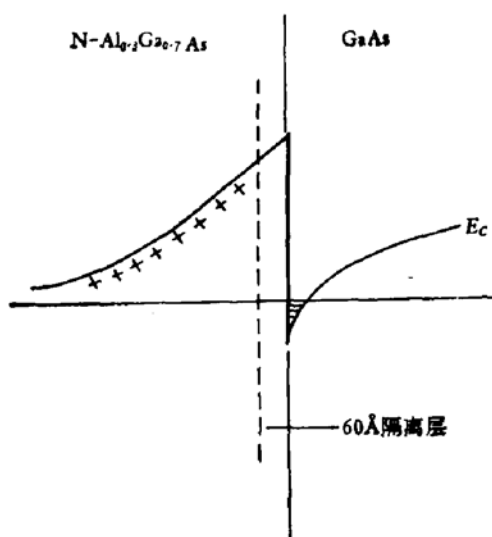
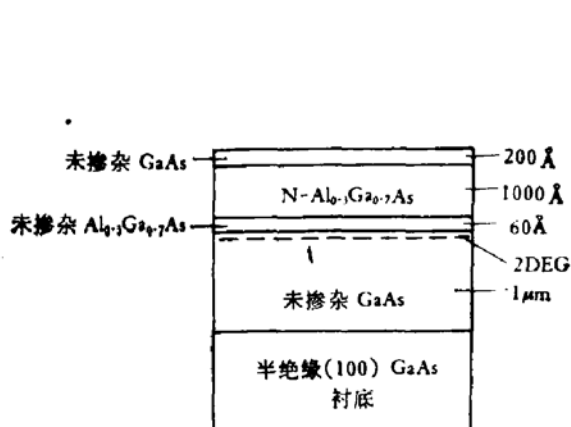
利用分子束外延技术制备了选择性掺杂的 GaAs/N-AlGaAs 异质结, 22K 时, 该结构的迁移率达到 $223,000 \text{ cm}^2/\text{V}\cdot\text{s}$, 相应的薄层电子浓度为 $5.7 \times 10^{11} \text{ cm}^{-3}$ 。在低温强磁场下, 观察到异质结电子系统的二维 SdH 振荡特性和量子化 Hall 效应。

分子束外延(MBE)的独特优点是可以生长原子级厚度和平整度的多层单晶薄膜, 并可精确控制薄膜的组分和掺杂。利用 MBE 技术的这种特点, 生长了选择性掺杂的 GaAs/N-AlGaAs 异质结。由于异质结两种材料中的电子亲合势不同, 在 N-AlGaAs 中的电子与施主分离, 聚积到界面处 GaAs 一侧。这个电子积累层中的电子形成准二维电子气, 在低温下具有很高的电子迁移率^[1], 因此, 可以用来制作高速微波器件^[2]。

本工作采用协作研制的分子束外延设备^[3], 在外延生长高质量的 GaAs 和 $\text{Al}_x\text{Ga}_{1-x}\text{As}$ 单晶薄膜的基础上, 制备了选择性掺杂的 GaAs/N-AlGaAs 异质结。经测量表明, 此结构具有二维电子气(2DEG)的输运特性。

(1) 样品结构

图 1 表示选择性掺杂的 GaAs/N-AlGaAs 异质结结构。在掺 Cr 半绝缘(100) GaAs



衬底上,先外延一层1微米厚的未掺杂的GaAs缓冲层,以消除衬底的界面效应。然后是厚度只有60Å左右的未掺杂的AlGaAs隔离层,减少N-AlGaAs中离化施主对界面处电子的散射作用。其上是厚度为1000Å的掺Si的N-AlGaAs层,掺杂浓度约为 $1.0 \times 10^{18} \text{ cm}^{-3}$, AlAs克分子数(x 值)取0.3左右。最后在表面外延一层200Å的未掺杂的GaAs,以防止AlGaAs遇空气后氧化,并有利于制作欧姆接触。

图2是异质结界面处的能带图。分子束外延的异质结,具有从一种材料到另一种材料突变的理想性质,界面上形成很陡的势垒,使电子局限于界面处的一维势阱中。

(2) 实验

分子束外延设备和GaAs单晶薄膜的外延生长已在前文^[3]作过介绍。AlGaAs的N型掺杂剂选用Si,因Si在高的衬底温度下可以有陡变的掺杂分布。分子束源分别采用纯As(6N),纯Ga(6N),纯Al(6N)和高纯单晶Si。喷射炉坩埚材料除As炉选用高纯石墨外,其它均为国产的热解氮化硼。生长GaAs和AlGaAs的衬底温度为580℃—680℃,生长速率为1—2微米/小时。未掺杂的GaAs呈N型,载流子浓度为 10^{14} — 10^{15} 厘米 $^{-3}$ 。在一定的GaAs生长速率下,分别调节Al炉和Si炉的温度,得到所需要的AlAs克分子数(x 值)和N-AlGaAs中的掺杂浓度。外延层的厚度,在确定的GaAs和AlGaAs生长速率下,由生长时间确定。外延生长过程均在富As条件下进行,As背景蒸汽压为 1.0×10^{-6} 托。

(3) 测量

用范德堡法测量异质结界面处的薄层载流子浓度(n_s)和Hall迁移率(μ)。图3是在20—300K温度范围, n_s 和 μ 随温度的变化曲线。图中同时绘出一般MBE GaAs样品的迁移率与温度的关系曲线。十分明显,GaAs/N-AlGaAs异质结的迁移率随温度下降而不断上升,22K时的迁移率达到223,000cm 2 /V·s。而GaAs样品在60K左右具有峰值迁移率。当温度低于60K时,由于离化杂质散射作用,迁移率开始下降。

下表列举了三个GaAs/N-AlGaAs异质结样品在297K,77K和22K时的迁移率和薄层载流子浓度(无光照)。

样品编号	297K		77K		22K	
	$n_s(\text{cm}^{-3})$	$\mu(\text{cm}^2/\text{V}\cdot\text{s})$	$n_s(\text{cm}^{-3})$	$\mu(\text{cm}^2/\text{V}\cdot\text{s})$	$n_s(\text{cm}^{-3})$	$\mu(\text{cm}^2/\text{V}\cdot\text{s})$
12	1.06×10^{12}	4,508	5.26×10^{11}	87,100	5.21×10^{11}	150,700
15	1.24×10^{12}	4,338	6.08×10^{11}	103,000	5.71×10^{11}	223,000
21	9.4×10^{11}	6,400	6.64×10^{11}	96,500	6.11×10^{11}	177,200

另外对GaAs/N-AlGaAs异质结的二维输运特性进行了初步测试。在低温强磁场下,当磁场垂直于界面时,观察到Shubnikov-de Hass(SdH)振荡特性;当磁场平行于界面时,这种振荡特性完全消失,如图4所示。这表明异质结界面电子系统具有二维输运特性。

图5表示磁阻 ρ_{xx} 和Hall电阻 ρ_{xy} 随磁场的变化曲线。当磁场强度增加时,填满电子的Landau能级数依次减少。电子填满整数*i*个Landau能级时, ρ_{xx} 近似为零; ρ_{xy} 值显示出特定的量子化平台,其数值为 h/e^2 (h 为普朗克常数, e 为电子电荷)

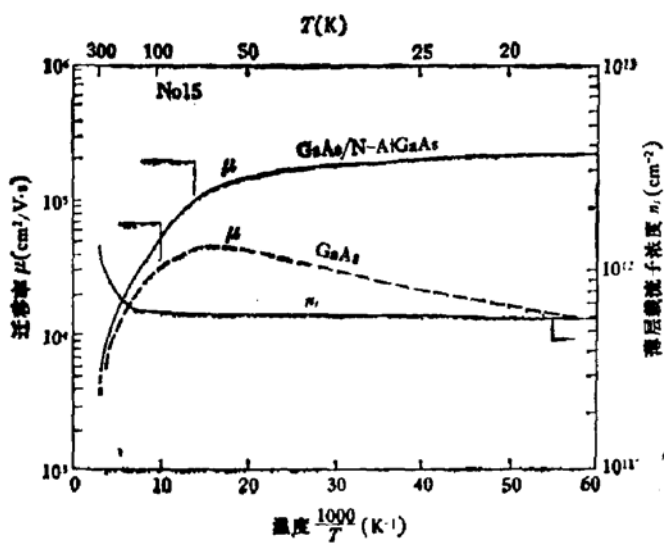


图 3 μ 和 n_i 随温度的变化曲线
实线是 GaAs/N-AlGaAs
异质结,虚线是 MBE GaAs 样品

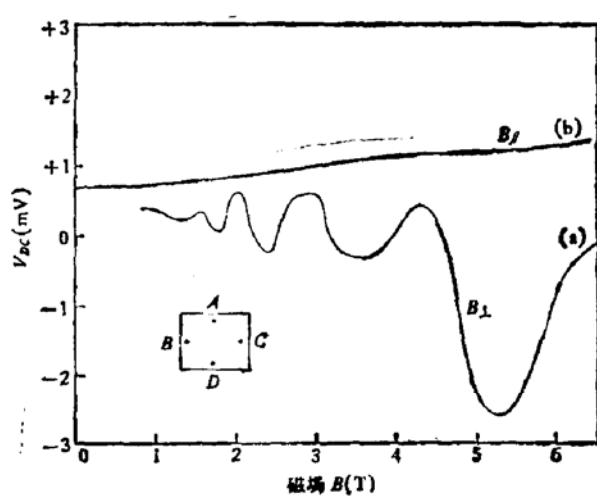


图 4 不同磁场方向, V_{DC} 与磁场 B 的关系曲线
(a) 垂直界面的磁场 (B_\perp)
(b) 平行界面的磁场 (B_\parallel)
No. 12 $T = 4.2\text{K}$ $I_{AB} = 50\mu\text{A}$

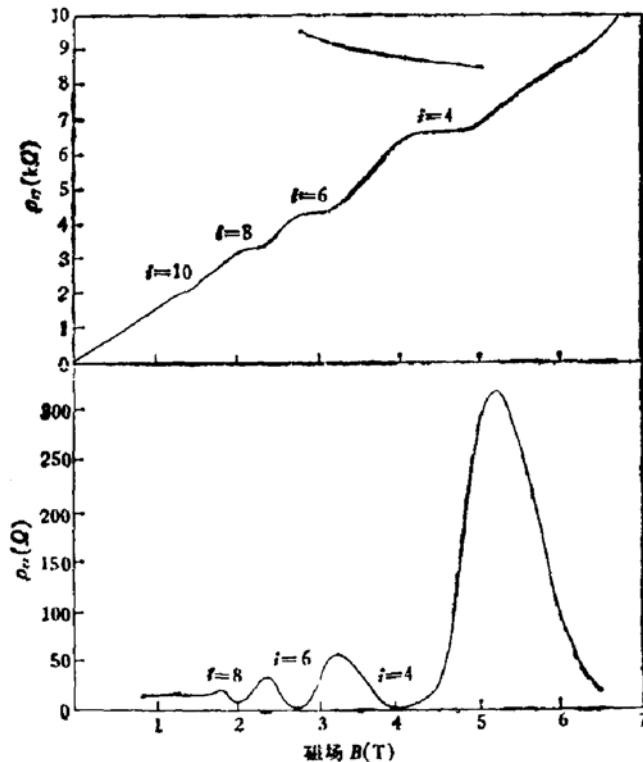


图 5 ρ_{xx} 和 ρ_{xy} 与磁场 B 的关系曲线
No. 12 $T = 4.2\text{K}$ $I = 50\mu\text{A}$

由量子化 Hall 电阻平台相应的磁场强度推算出填满 Landau 能级的电子数 n_i 等于 $4.03 \times 10^{11}\text{cm}^{-2}$, 此值与弱磁场下的 Hall 测量值 $3.68 \times 10^{11}\text{cm}^{-2}$ (4.2K) 十分接近。

本工作得到黄昆、林兰英的关心与指导。李岐旺、曾一平、常永萍等参加了实验工作, 李瑞云、王万年等作了样品的 Hall 测量; 本所二维电子气研究组江丕桓、李月霞、杨富华、王杏华等作了样品的二维

运输特性的测量；朱素珍协助抛光了衬底，在此一并致谢。

参 考 文 献

- [1] R. Dingle, et al., *Appl. Phys. Lett.*, 33, 665 (1978).
- [2] T. Mimura, et al., *Jpn. J. Appl. Phys.*, 19, L225 (1980).
- [3] 孔梅影等,半导体学报, 5, 206(1984)。

MBE Growth of Selectively Doped GaAs/N-AlGaAs Heterostructure

Chen Zonggui, Liang Jiben, Sun Dianzhau,

Huang Yunheng and Kong Meiying

(Institute of Semiconductors, Academia Sinica)

Abstract

A selectively doped GaAs/N-AlGaAs heterostructure with an electron mobility as high as $223,000 \text{ cm}^2/\text{V}\cdot\text{s}$ and a sheet carrier concentration of $5.7 \times 10^{11} \text{ cm}^{-2}$ at 22 K has been grown by molecular beam epitaxy (MBE). SdH oscillation and quantized Hall resistance of two-dimensional electron gas in the heterostructure have been observed under high magnetic field at low temperature.